

Автореф
КЧЗ

Н

ОДЕСЬКИЙ

ІНСТИТУТ НИЗЬКОТЕМПЕРАТУРНОЇ ТЕХНІКИ ТА ЕНЕРГЕТИКИ

На правах рукопису

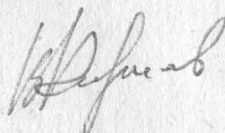
КИРИЛОВ Володимир Харитонович

ГІДРОДИНАМІКА ТА ТЕПЛОМАСООБМІН
В ДВОФАЗНИХ ПОТОКАХ
ПЛІВКОВИХ АПАРАТІВ
ДЛЯ ХОЛОДИЛЬНОЇ ТЕХНІКИ

Спеціальність 05.04.03 — машини та апарати холодильної і кріогенної техніки та систем кондиціонування.

Спеціальність 05.18.12 — процеси, машини та агрегати харчової промисловості.

А В Т О Р Е Ф Е Р А Т
ДИСЕРТАЦІЇ НА ЗДОБУТТЯ ВЧЕНОГО СТУПЕНЯ
ДОКТОРА ТЕХНІЧНИХ НАУК



ЗАГАЛЬНА ХАРАКТЕРИСТИКА РОБОТИ

Актуальність роботи. Економічна політика повинна передбачати високі темпи приросту промислової продукції, переведення виробництва на інтенсивний шлях розвитку, технічне переозброєння промисловості, що можливо лише на основі покращення якісних характеристик існуючих і створюваних машин і апаратів. Найважливішою ланкою холодильної техніки, що визначає енергетичні та масогабаритні характеристики, є тепломасообмінна апаратура (ТМА).

Одним з прогресивних способів взаємодії фаз в контактних пристроях ТМА є здійснення контактування фаз при плівкових і струминних течіях. Цим пояснюється широке застосування таких видів течій в хімічній та карбонатній промисловості, енергетиці та інших областях сучасної техніки для здійснення багатьох технологічних процесів зв'язаних з тепломасообміном, фазовими і хімічними перетвореннями.

Плівкові та струминні течії використовуються в високопродуктивних ТМА, що дозволяють переробляти великі потоки рідини та газів з низькими енергозатратами.

Плівкові та струминні течії займають визначене місце в теоретичній і, особливо, прикладній механіці в'язкої рідини: плівкові течії представляють також цевий інтерес як зручна неелектрична модель для дослідження загальних уявлень теорії гідродинамічної стійкості.

Широкому впровадженню в промисловість ТМА з плівковою та плівково-струминною течією сприяє ретельне дослідження гідродинаміки та тепломасообміну (ТМО) у контактному пристрії таких апаратів і розробка на цій основі надійних методів їх розрахунку, що в особливій мірі необхідно на стадії проектування.

Таким чином, розробка методів розрахунку гідродинаміки та ТМО при двофазних плівкових і плівково-струминних течіях у контактному пристрії ТМА має важливе народногосподарське значення.

Мета роботи і задачі дослідження. Метою роботи була розробка методів розрахунку гідродинаміки та процесів ТМО і створення на цій основі інженерної методики проектування ефективної плівкової ТМО апаратури вишаровувального охолодження рідини і газів. Ця мета досягається розв'язуванням слідуючих задач: в неелектричній постановці дослідити регулярний хвильовий режим вільної течії плівки рідини по вертикальній поверхні та визначити хвильові характеристики течії; провести дослідження нестійкос-

Робота виконана в Одеському інституті низькотемпературної техніки та енергетики.

Офіційні опоненти

- доктор технічних наук, професор
КАНЕВЕЦЬ Г. С.
- доктор технічних наук, професор
КАЛЕНДЕР'ЯН В. А.
- доктор технічних наук, професор
ОСТАПЧУК М. В.

Провідна організація

- науково-дослідний інститут технології
кіргеннного машинобудування, м. Одеса.

Захист відбудеться « 16 » 05 1994 р. о 11 годині на засіданні спеціалізованої ради Д.068.87.01 при Одеському інституті низькотемпературної техніки та енергетики за адресою: 270100, м. Одеса, вул. Петра Великого, 1/3.

З дисертацією можна ознайомитися в бібліотеці інституту.

Автореферат розіслано « 21 » 03 1994 р.

Вченій секретар
спеціалізованої ради

Р. К. Нікульшин

Одна функция г
исторический п
(α) . e^{-pr(α)}
уга передачная функ
димости от угла управле

ІЗМ.	
Лист	
№ докум.	
Подпис	

XV/12/15
Інститут холода
ОНАХТ
Бібліотека

ті ламінарні течії плівки рідини в умовах контактної взаємодії з потоком газу і визначити граничну швидкість газу для протиточної схеми течій з врахуванням особливостей двофазних потоків в контактному пристрої ТМА; розробити модель гідродинамічної взаємодії фаз на хвильовій поверхні поділу та дослідити хвильової режими течії плівки рідини при контактній взаємодії з турбулентним газовим потоком; встановити основні закономірності ТМО в процесах випарувального охолодження тонкого шару рідини, що тече по гладкій вертикальній поверхні; провести математичне моделювання гідродинамічних та ТМО процесів при плівковій і плівково-струминній течії рідини по складнопрофільованим (плоским і гофрованим з РН) елементам насадки при різних схемах матеріальних потоків; встановити основні закономірності процесів ТМО в контактному пристрої непрямого випарувального типу; розробити методику прямого і оберненого теплового розрахунку ТМО обладнання для вентиляторної градирні з регулярною насадкою і для непрямого випарувального повітвохолоджувача.

Наукова новизна. Створено новий науковий напрямок в області холдингового машинобудування – розробка методів розрахунку гідродинаміки та тепломасообміну у контактному пристрої ТМА в двофазній системі рідина-газ для плівкових і плівково-струминних течій на основі сучасних досягнень механіки рідини та газу, теорії тепло- і масообміну, обчислювальної математики.

В результаті теоретичних досліджень уперше:

- методом Ляпунова теорії стійкості з врахуванням експериментальних даних інших авторів, одержано розрахункове співвідношення для граничної швидкості газу при протитоці з плівкою рідини з врахуванням двофазних течій у контактному пристрої ТМА;
- на основі запропонованої моделі контактної гідродинамічної взаємодії фаз і в результаті розв'язування рівнянь Нав'є-Стокса Рейнольдса для двофазних систем в неелінійній постановці методом Кармана-Польгаузена проведено розрахунок основних параметрів плівки рідини при хвильово-хвильовій течії (профіль швидкості, амплітуди та довжини хвилі). Встановлено існування солітонних розв'язків;
- в результаті розв'язування рівняння Прандтля одержано профіль вільної поверхні рідини, що тече по вертикальній поверхні з великою висотою виступів регулярної шорсткості циліндричної форми;

визначена амплітуда стоячої хвилі і середня товщина плівки при взаємодії з потоком газу;

- на основі розв'язування рівнянь Нав'є-Стокса в постановці Прандтля одержано значення найбільшої товщини струменя рідини, що тече у впадині гофрованої поверхні в умовах прямого і перехрестного потоку фаз;

- з допомогою розв'язування рівнянь конвективного тепломасообміну, що описують процеси випарувального охолодження у контактному пристрої ТМА, застосовуючи співвідношення Кадера для коефіцієнтів опору і теплообміну, одержано значення основних параметрів рідини й газу на виході з апарата;

- розроблено аналітичний метод розв'язування рівнянь ТМО для плівкових і плівково-струминних течій відповідно по плоским і пряможно-гофрованим елементам насадок в умовах перехрестного потоку фаз;

- запропоновано метод дослідження процесів ТМО у контактному пристрої непрямо-випарувального типу при різних схемах руху матеріальних потоків;

- на основі розв'язування рівнянь ТМО, що описують процеси прямого і непрямого випарувального охолодження, одержано границю охолодження середовища, відповідачу адіабатичному випаруванню рідини;

- розроблено методику прямого і оберненого теплового розрахунку контактного пристрою прямого і непрямо-випарувального типу при різних схемах руху потоків.

Основні наукові положення, які захищаються в роботі:

1. Основою створення методів інженерного розрахунку контактного пристрою ТМА є математичне моделювання спільного тепломасообміну, що враховує характерні особливості двофазних потоків.

2. Хвилі збурення, які виникають на поверхні поділу, є причиною зносу капель при двофазній плівковій течії (нестійкість Кельвіна-Гельмгольца). Визначення граничної швидкості газу доцільно робити за теорією гідродинамічної стійкості потенціальніх течій.

3. Для контактник пристроїв плівкових ТМА великої пропускної спроможності коефіцієнти теплообміну і опору визначаються співвідношеннями Кадера.

4. Однозначна розв'язуваність задачі проектування насадок на основі математичного моделювання гідродинаміки та процесів випаро-

вувального охолодження забезпечується завданням :

- 1) фронтальної густини зростення q_p і відносною витратою повітря λ - для протиточнотичної (прямоточнотичної) градирні;
- 2) q_p , λ і швидкості течії повітря v_o - для перехрестотичної градирні;
- 3) q_p , λ , швидкості основної течії v_o і допоможної течії v_w повітря - для повіtroохолоджувачів непрямо-випаровувального типу.

Практична цінність роботи полягає в слідуєчому: I. На основі розроблених методів розрахунку гідродинаміки та ТМО в двофазних системах одержано розрахункові співвідношення для гіdraulічних і теплофізичних характеристик матеріальних потоків (товщина плівки, гранична швидкість газу, еквівалентний діаметр, коефіцієнти опору, числа Рейнольдса і Нусельта, співвідношення поверхонь тепло- та масообміну, границя охолодження, температура рідини і газу на виході з апарату та ін.), які необхідні при тепловому й гідроаеродинамічному розрахунку та проектуванні ТМА.

2. Розроблена і впроваджена в практику інженерна методика розрахунку контактних пристроїв прямого й непрямо-випаровувального типу для плівкової тепломасообмінної апаратури.

Реалізація результатів дослідження. Результати роботи використані при розробці типорозмірного ряду проти- й перехрестоточних вентиляторних градирень, при створенні непрямих випаровувальних повіtroохолоджувачів технологічного призначення (охолодження РЕА) й комфорного кондиціонування повітря, а також при розробці повітряновипаровувальних конденсаторів для холодильних установок в організаціях ВО "Одесахолодмаш", Одеський механічний завод, ВО "Продмаш" (м.Одеса), дослідно-механічний завод (м.Симферополь), ВО "Екватор" (м.Миколаїв) та ін.

Апробація роботи. Основні результати дисертації були предметом доповідей і обговорень на Республіканській конференції "Обчислювальна математика в науково-технічному прогресі" (Київ, 1982); на Всесоюзний науковій конференції "Метод А.М.Лапунова в сучасній математиці" (Харків, 1986); на Всесоюзний науково-практичній конференції "Інтенсифікація виробництва та застосування штучного холоду" (Ленінград, 1986); на Всесоюзний науково-практичній конференції "Штучний холод в галузях агропромислового комплексу" (Кишинів, 1987); на Всесоюзний науковій конференції "Диференціальні та інтегральні рівняння і їх застосування" (Одеса, 1987); на Всесоюзний

науково-практичній конференції "Сучасні машини й апарати хімічних виробництв" (Чимкент, 1988); на Всесоюзний науково-технічній конференції "Створення й впровадження апаратів з активними гідродинамічними режимами для текстильної промисловості" (Москва, 1989); на Всесоюзний науково-практичній конференції "Шляхи інтенсифікації виробництва з застосуванням штучного холоду" (Одеса, 1989); на Всесоюзний науково-практичній конференції "Двофазний потік в енергетичних машинах і апаратах" (Ленінград, 1990); на Всесоюзному симпозіумі "Метод дискретних особливостей в задачах математичної фізики" (Одеса, 1991); на Республіканській науково-методичній конференції, посвяченій 200-річчю від дня народження М.І.Лобачевського (Одеса, 1992); на наукових конференціях СТІХІ (Одеса, 1990-1990).

Публікація результатів дослідження. По темі дисертації опубліковано більше 40 друкованих робіт, в яких відображені основні положення і результати. Одержано одне авторське свідоцтво на винахід.

Структура та обсям роботи. Дисертація складається з вступу, II глав, основних висновків, списку використаної літератури (226 найменувань) і додатків. В ній міститься 281 сторінка основного тексту, 16 таблиць та 81 рисунок.

СМІСТ РОБОТИ

У вступі обґрунтована актуальність, сформульована мета дослідження, вказано відмінна новизна та практична цінність роботи.

Глава I. Перспективи використання регулярних насадок для організації процесу випаровувального охолодження.

Висока інтенсивність процесів переносу при малих енергозатратах роблять плівкові ТМА перспективним типом апаратури для ХТ та КП. Ефективність таких охолодників залежить від гідроаеродинамічної обстановки у контактному пристрій. Найбільш сприятливі умови у цьому відношенні досягаються при ламінарій плівковій течії рідини та турбулентному потоці газу, причому найбільш сприятливими будуть протиточні та поперечноточні схеми взаємодії матеріальних потоків. Для інтенсифікації процесів випаровувального охолодження рідини необхідно забезпечити умови по збільшенню коефіцієнтів переносу у газовій фазі. Це досягається для плоскопаралельної насадки

доної структури за допомогою використання складнопрофільзованих елементів (гофрованих, з РІІ та інших). В ОІНТЕ розроблені ефективні контактні пристрої, в яких застосовується алюмінієві листи з регулярию пористістю. Аналіз літературних даних по вивченню гідродинаміки плівкових течій та процесів ТМО для двофазних плівкових потоків в умовах випаровувального охолодження дозволив обґрунтівати моту та задачі дослідження.

Глава II. Загальні закономірності течії плівок рідини рідини у насадочному шарі ТМО випаровувального охолодження.

Першою необхідною умовою для здійснення ефективного міжфазного ТМО у контактному пристрої є утворення стійкої плівки рідини, що забезпечується певною густотою зрошування, мінімальне значення якої визначається умовами змочування та розтікання по елементу насадки. По формулі Хоблера для плівкової течії води по обезжиреній алюмінієвій вертикальній поверхні $\Gamma_{\min} = 0.01 - 0.02 \text{ кг}/(\text{м с})$, що відповідає числу Рейнольдса $Re_1 = \Gamma_{\min}/\mu_1 = 11 - 20$. Для сприятливої гідродинамічної обстановки у контактному пристрої плівкового ТМО область навантажень по рідині та газу повинна бути в границях $25 \leq Re_1 \leq 120$, $3 \leq v \leq v_{rp}$. Математичне описание течії тонкого шару в'язкої рідини при прямоточному контактуванні з турбулентним потоком газу у плоскопаралельній насадці зводиться до слідуєчої системи рівнянь та граничних умов (у безрозмірній формі)

$$\frac{\partial u_1}{\partial t} + u_1 \frac{\partial u_1}{\partial x} + u_1 \frac{\partial u_1}{\partial y} = - \frac{\partial p_1}{\partial x} + \frac{v_1 l}{u_0 r^2} \frac{\partial^2 u_1}{\partial y^2} + \frac{1}{Pr} \quad (1)$$

$$\frac{u_0}{v_0} \frac{\partial u_2}{\partial t} + u_2 \frac{\partial u_2}{\partial x} + u_2 \frac{\partial u_2}{\partial y} = - \frac{\partial p_2}{\partial x} + \frac{v_2 l}{u_0 r^2} \frac{\partial}{\partial y} \left[\left(1 + \frac{v_1}{v_2} \right) \frac{\partial u_2}{\partial y} \right] \quad (2)$$

$$\frac{\partial p_1}{\partial y} = 0, \quad \frac{\partial u_1}{\partial x} + \frac{\partial u_1}{\partial y} = 0, \quad \frac{\partial p_2}{\partial y} = 0, \quad \frac{\partial u_2}{\partial x} + \frac{\partial u_2}{\partial y} = 0; \quad (3)$$

$$\text{при } y = h(t, x) \quad u_1 = \frac{\partial h}{\partial t} + u_1 \frac{\partial h}{\partial x}, \quad u_2 = \frac{u_0}{v_0} u_1, \quad v_2 = \frac{u_0}{v_0} v_1.$$

$$p_1 + \frac{1}{We} \frac{\partial^2 h}{\partial x^2} = \theta_2 p_2, \quad \frac{\partial u_1}{\partial y} = \theta_1 \left(1 + \frac{v_1}{v_2} \right) \frac{\partial u_2}{\partial y}; \quad (4)$$

$$\text{при } y = 0 \quad u_1 = u_2 = 0; \quad \text{при } y = r \quad \tau_{yy} = 0,$$

$$\text{де } y = h(t, x) - \text{рівняння вільної поверхні}; \quad \theta_1 = \frac{\mu_2 v_0}{\mu_1 u_0}, \quad \theta_2 = \frac{\rho_2 v_0}{\rho_1 u_0} - \text{параметри гідродинамічної взаємодії.}$$

З динамічних умов (4) витікає, що при $\theta_1 < 1$, $\theta_2 < 1$ діє газового потоку можна знехтувати. Для двофазної системи вода-повітря у межах робочих режимів ТМО це має місце при $v_0 < 3.5 \text{ м/с}$. В протилежному випадку ($3.5 < v_0 < v_{rp}$) вплив газу істотний і що область швидкостей будемо називати областю сильної гідродинамічної взаємодії.

Глава III. Гідродинаміка і тепломасообмін при слабкій гідродинамічній взаємодії.

Хвильова однофазна течія плівки рідини у цьому випадку описується рівнянням руху (1) та перозривності (3) з крайовими умовами (4) при $\theta_1 = \theta_2 = 0$. При розв'язку даної задачі доводиться переборювати математичні труднощі, які обумовлені, по-перше, нелінійністю самих рівнянь, по-друге, наявністю малого параметра при старшій похідній, і, по-третє, при розв'язку системи рівнянь необхідно визначати поверхню контакту фаз.

Згідно методу Кармана-Польгаузена, припускаючи профіль швидкості u_1 параболічним, виключаючи v_1 і p_1 , а також провівши осереднення рівнянь (1), (3) по товщині шару h , вихідна задача зводиться до рівнянь (у розмірній формі)

$$h^2 \frac{\partial q}{\partial t} + 2.4 h q \frac{\partial q}{\partial x} - 1.2 q^2 h_x''' = \frac{\sigma}{\rho} h^3 h_{xxx}''' + gh^3 - 3 v_1 q \quad (5)$$

$$\frac{\partial h}{\partial t} + \frac{\partial q}{\partial x} = 0. \quad (6)$$

Дослідження даної системи рівнянь, в зв'язку з хвильовим характером руху рідинної плівки, проводиться в ряді фундаментальних робіт Капіци П.Л., Кутателадзе С.С. і Стиріковича М.А., Накорякова В.Е. і Покусаєва Б.Г., Шкадова В.Я. і Холпанова Л.П. Аналіз результатів цих робіт дозволив визначити хвильові характеристики для двофазної системи повітря-вода. В подальшому (глава 5) ці результати використовуються як початкові наближення при чисельному дослідженні хвильових режимів двофазної течії у випадку сильної гідродинамічної взаємодії фаз.

Гидродинаміці та тепломасообміну в умовах плівкової течії рідини при відсутності хвилеутворення присвячено цілий ряд робіт, а число робіт, в яких досліджується ТМО в умовах хвильового характеру двофазної течії, досить обмежене. Між тим розрахунок ефективності процесів випаровувального охолодження при наявності хвилеутво-

рення являє практичний інтерес, бо хвилі на поверхні плівки рідини значно інтенсифікують процеси ТМО. При чому ця інтенсифікація, як відомо, у великій мірі пов'язана з регулярними дрібоемпілітудними хвиллями, оскільки більша частина поверхні ТМО покрита дрібними хвиллями і дуже мала частина зайнята крупними хвиляутвореннями.

Глава IV. Стійкість розділької двофазної течії. Дослідження нестійкості Кельвіна-Гельмгольца.

При проектуванні плівкових апаратів великої процесної спроможності необхідно з достатньою степінню точності визначати граничне навантаження газової фази, перевищення якого приводить до захлипання апарату.

Наявність впливу газового потоку (при $v_0 > 3.5$ м/с) приводить до нового виду нестійкості поверхні рідини, який вперше був встановлений Кельвіном, а потім Гельмгольцем у зв'язку з виникненням хвиль під впливом вітру. При досить великій швидкості газу змілтітуда хвиль на поверхні плівки рідини, яка тече по вертикальній поверхні, зростає з часом аж до зруйнування крупних хвиль на дрібні краплини, котрі виносяться потоком газу. Разом зі збільшенням швидкості газу у зрошувальному каналі кількість крапель зростає, разом з цим зростають також і гідрравлічні втрати. Швидкість газу v_* у даних умовах при яких відбувається початок краплевинису називається граничною. Як показано в роботі Х'юїтта і Холл-Тейлора на основі досліджень Мейлза і Брук-Бенджаміна для довгих хвиль, вклад у сили, які намагаються змінити форму хвиль, функціючого дотичного напруження значно менше, від від нормального. На цій основі при дослідженні механізму нестійкості Кельвіна - Гельмгольца можна розглядати обидва середовища (рідину і газ) як ідеальні рідини і застосувати теорію потенціальних течій. Таким чином, для двофазної плівкової течії у плоскому каналі маємо рівняння Лапласа

$$\Delta \Phi_i = 0 \quad (i = 1, 2, \Delta = \partial^2/\partial x^2 + \partial^2/\partial y^2 - \text{оператор Лапласа}), \quad (7)$$

де Φ_i - потенціали швидкостей, та інтеграли Коши-Лагранжа

$$\frac{\partial \Phi_1}{\partial \tau} + \frac{1}{2} |\text{grad } \Phi_1|^2 - g\tau + \frac{P_1}{\rho_1} = f(\tau). \quad (8)$$

Границі умови при цьому такі:

$$\text{при } y = h(\tau, x) \quad P_1 - P_2 = \partial h / \partial x, \quad \frac{\partial \Phi_1}{\partial y} = \frac{\partial h}{\partial \tau} + u_0 \frac{\partial h}{\partial x}, \quad \frac{\partial \Phi_2}{\partial y} = \frac{\partial h}{\partial \tau} + v_0 \frac{\partial h}{\partial x}$$

$$\text{при } y = 0 \quad \partial \Phi_1 / \partial y = 0, \quad \text{при } y = r \quad \partial \Phi_2 / \partial y = 0. \quad (9)$$

Застосовуючи метод Ляпунова (теорії стійкості) до задачі (7)-(9), отримаємо шукане значення граничної швидкості (для протитечії фаз)

$$v_* = \left[\frac{\alpha \zeta}{\rho_2 h_0} \ln \left(\frac{r}{h_0} - 1 \right) \right]^{1/2} - u_0, \quad (10)$$

де величина ζ має бути визначена.

Проведено порівняльний аналіз літературних теоретичних та експериментальних даних по визначення граничної швидкості газу в умовах протитечії фаз. Установлено, що ці дані у визначені граничних навантажень розходяться більш, ніж на 200%. Ці розходження пояснюються впливом довжини та діаметра каналу, а також умовами на кінцях труб. Як базові дані прийнято експериментальні результати, які одержані Олевським та співробітниками. Звідки випливає для величини

$$\zeta = \alpha We^b (\mu_2 / \mu_1)^b \quad (II)$$

за методом найменших квадратів $\alpha = 0.01$, $a = -0.5$, $b = -0.12$. (12)

Враховуючи також довжину каналу H , гранична швидкість газу визначається таким чином (Олевський)

$$v_{*0} = \frac{H}{a} (0.38 d - 0.015) v_* + 0.07 d^{-0.8}. \quad (13)$$

Наявність РШ на робочій поверхні контактного пристрою приводить до додаткової дестабілізації двофазної течії. В цьому випадку пропонується визначати граничну швидкість за формулou:

$$v_{rp} = v_{*0} [1 - a_1 (e/p)^{b_1}]. \quad (14)$$

Обробка експериментальних даних за методом найменших квадратів дає

$$a_1 = 0.88, \quad b_1 = 0.572. \quad (15)$$

Співвідношення (II)-(15) справедливі у такому діапазоні: $20 < Re_1 < 100$, $0.3 \text{ м} < H < 0.85 \text{ м}$, $0 \leq e/p \leq 0.2$, $16 \text{ мм} < d < 24 \text{ мм}$.

Вираз (14) надалі (глава IO) використовується при розрахунку контактних пристріїв плівкових ТМА.

Глава V. Гідродинаміка і тепломасообмін при сильній взаємодії потоку газу та плівки рідини.

Хвильові режими течії при сильній гідродинамічній взаємодії визначається системою рівнянь (I)-(4). Розв'язок даної системи шукано за методом Кармана-Польгаузена, пропонуючи профілі швидкостей в такому вигляді (параболічний для рідини і степеневий для

турбулентності течії газу):

$$u_1 = 3q_1 y(1-y/2h)/h^2 - \tau_1 y(1-3y/2h)/2\mu_1 \quad (16)$$

$$u_2 = u_1 + \frac{n+1}{n} \left(\frac{y-h}{r-h} \right)^{1/n}, \quad 6 < n < 7. \quad (17)$$

Підстановка (16) і (17) в (1) – (4) і усереднення рівнянь руху по ширині відповідного потоку дає

$$\begin{aligned} q'_r + (2.4q/h + \tau_1 h/2\mu_1) q'_x - (1.2q^2/h^2 - \tau_1 q/2\mu_1 - \tau_1^2 h^2/4\mu_1) h'_x + \\ + (q/h/2\mu_1 + \tau_1 h^3/6\mu_1^2) \tau'_{1x} = - h p'_{2x}/\rho_1 + \partial h h'''_{xxx}/\rho_1 + gh + 3\tau_1/2\rho_1 - 3\nu_1 q/h^2 \end{aligned} \quad (18)$$

$$\begin{aligned} q'_r - \frac{q'_x}{n(n+1)} \{ [(n+1)^2 \bar{u}_2^2 - \bar{u}_1^2 + 3(r-h)(\bar{u}_2 - u_1)(q/h^2 - \tau_1/\mu_1)] h'_x - 2[(n+1)^2 \bar{u}_2^2 - \\ - u_1^2 - 1.5(1-r/h)(\bar{u}_2 - u_1)] q'_x - (h/2\mu_1)(r-h)(\bar{u}_2 - u_1) \tau'_{1x} \} = p'_{2x}(r-h)/\rho_2 - \tau_1/\rho_2 \end{aligned}$$

Задаємо дотичне напруження на поверхні поділу $y=h(t,x)$ у слідуєчому вигляді: $\tau_1 = -\frac{\xi}{g} \rho_2 (\bar{u}_2 - u_1)^2$, $\xi = 0.316/Re^{0.25}$.

Система рівнянь (26) зводиться до безрозмірної форми, а оцінка членів в кожному із рівнянь, виключаччи $\partial p_2 / \partial x$, дає

$$\begin{aligned} h^2 q'_r + h q'_x (2.4q + T_1) - h'_x (1.2q^2 - qT_1 - 10T_1^2 + Sh^3 \bar{u}_2^2) = h^3 \partial h'''_{xxx}/\rho_1 + gh^3 + \\ + 3\tau_1 - 3\nu_1 q, \quad S = (\rho_2/\mu_1 \rho_1) \cdot (n+1)^2/(n+2) \end{aligned} \quad (19)$$

$$h'_r + q'_x = 0. \quad (20)$$

$$\text{де } T_1 = \xi \rho_2 (h \bar{u}_2 - 1.5q)^2 / 16\mu_1, \quad \bar{u}_2 = v_0 [1 - (\frac{q - q_0}{v_0 r} - \frac{h - h_0}{r})].$$

Для ламінарної безхвильової двофазної течії

$$q = q_0 (\text{const}), \quad h = h_0 (\text{const}), \quad (21)$$

тоді товщина шару h_0 , згідно (19), задовільняє рівняння

$$h_0^3 + 1.5 \tau_0 h_0^2 / \rho_1 g - 3q_0 \nu_1 / g = 0. \quad (\tau_0 = \xi \rho_2 v_0^2 / g).$$

Врахувавши, що $1.5\tau_0/\rho_1 gh_N < 1$, згідно методу збурень, знаходимо (для протитечії)

$$h_0 = h_N + \tau_0 / 2\rho_1 g, \quad \text{де } h_N = (3\nu_1 Q_1 / g)^{1/3} \quad (\text{Нусельт}). \quad (22)$$

Досліджуємо стійкість безхвильової течії (21), для чого відносно рівнянь (19), (20) застосуємо метод Ляпунова. В результаті дістанемо, що умова стійкості має вигляд

$$0 < c < 1.2 + T(1-3\beta)/40, \quad T = \tau_0 h_0^2 / \mu_1 q_0 \quad (23)$$

$$c > [3 - T(1+3\beta)/2] / (1 + 1.5\beta T), \quad \beta = q_0/h_0 v_0.$$

У противному разі має місце нестійкість хвильового режиму, при цьому амплітуда з часом необмежено зростає. Серед зростаючих хвиль виділімо хвилі, які матимуть максимальний зрост. Параметри цих хвиль для двофазної системи визначаються слідуючими співвідношеннями:

для фазової швидкості

$$c_* = 3.9454 Re_1^{-0.17} - 3.45 \cdot 10^{-4} Re_1^{-0.17} Re_2^{0.61}; \quad (24)$$

для довжини хвилі

$$\lambda_* = 155.774 Re_1^{-0.3} - 5.47 \cdot 10^{-2} Re_1^{-0.3} Re_2^{0.74}. \quad (25)$$

Наявність зустрічного або супутного газового потоку ще більше ускладнює картину хвильових течій, але і в цьому випадку, також як і при вільному (без газу) їх русі, мають місце два типи хвиль – дрібномасштабні брижі з порівнюючо високою частотою та крупні низькочастотні хвилі. Ці два типи хвиль повинні визначатися із рівняння (19). Перший тип хвиль (регулярний хвильовий режим) має міду амплітуду і в цьому випадку розв'язок (19) одержується методом збурень. Проводиться чисельний розв'язок, при чому для фазової швидкості c і довжини хвилі λ використовуються значення, які відповідають максимально зростаючим хвильям (24), (25). Степенева апроксимація одержаного розв'язку для двофазної системи повітря-вода дає слідуючі вирази: для середньої товщини шару рідини

$$h_0 \cdot 10^4 = 0.688 Re_1^{0.295} + 0.137 \cdot 10^{-7} Re_2^{1.77}, \quad \text{м}; \quad (26)$$

для амплітуди хвилі

$$a = 0.428 Re_1^{0.061} + 0.485 \cdot 10^{-10} Re_1^{-0.234} Re_2^{1.92} (1 + 9.57 Re_1^{-0.122}). \quad (27)$$

Ці співвідношення вірні, коли $20 < Re_1 < 100$ та $0 \leq Re_2 < 10^4$. Розрахунок по запропонованим формулам (24)–(27) задовільно погоджується з експериментальними даними різних авторів.

Другий тип хвиль відповідає солітонному розв'язку рівняння (19). Результати чисельних розрахунків профілю солітону показані на рис. 2. Звідки випливає також, що коли росте швидкість газу, то росте і амплітуда хвилі, а це свідчить про механізм нестійкості Кельвіна-Гельмольца.

Проведено бібліографічний огляд теоретичних робіт, які стосуються вивчення процесів ТМО при вишаровувальному охолодженні рі-

дини в контактному пристрої ТМО. Встановлено, що методика досліджень є досить розвинуту для плоских насадочних елементів, без обліку хвилеутворення на поверхні рідини плівки. Але приймаючи до уваги ті особливості двофазних плівкових і плівково-струмінних течій, які мають місце в реальних умовах (хвилі на поверхні поділу, течії по складнопрофільованим поверхням з регулярною конфігурацією, різні схеми контактування матеріальних потоків та ін.) ця методика розрахунку гідродинаміки та процесів ТМО потребує подальшого розвитку.

Процеси випаровувального охолодження при двофазній плівковій течії у плоскому каналі контактного пристрою описуються слідуючою системою рівнянь (у формі рівнянь приграницяного шару, для прямотечії фаз)

$$u_1(y) \frac{\partial t}{\partial x} = a_1 \frac{\partial^2 t}{\partial y^2} \quad (28)$$

$$u_2(y) \frac{\partial \theta}{\partial x} = a_2 \frac{\partial}{\partial y} [(1 + a_T/a_2) \frac{\partial \theta}{\partial y}] \quad (28)$$

$$u_2(y) \frac{\partial p}{\partial x} = D R_n T \frac{\partial}{\partial y} [(1 + D_T/D) \frac{\partial p}{\partial y}].$$

тут швидкість u_1 та u_2 визначається співвідношеннями (16), (17).

Границі умови при цьому такі:

$$\text{на стінці при } y=0 \quad \frac{\partial t}{\partial y}=0; \quad (29)$$

$$\text{на осі каналу при } y=r \quad \frac{\partial \theta}{\partial y}=0, \frac{\partial p}{\partial y}=0;$$

умови спряження на поверхні поділу $y=h$

$$\lambda_1 \frac{\partial t}{\partial y} = (\lambda_2 + \lambda_T) \frac{\partial \theta}{\partial y} + r_D p_B / p_B (D + D_T) \frac{\partial p}{\partial y}, \quad p = p''(t_1). \quad (30)$$

Задача (28)-(30) зводиться до одновимірної. Якщо провести осереднення вихідних рівнянь (30) по товщині відповідних потоків, то для середніх значень

$$T(x) = \frac{p_1}{Q_1} \int_0^h u_1 t dy, \quad \bar{\theta}(x) = \frac{p_2}{Q_2} \int_h^r u_2 \theta dy, \quad \bar{p}(x) = \frac{p_2}{Q_2} \int_h^r u_2 p dy. \quad (31)$$

зважаючи на закони Ньютона $q_a = a_2(t_1 - \theta)$ та Дальтона $q_p = r_D \beta_2(p'' - \bar{p})$, а також граничні умови (29), (30), дістанемо слідуючу систему рівнянь

$$\frac{dt}{dx} = a_1(\bar{\theta} - t_1) + b_1(\bar{p} - p''), \quad a_1 = \frac{a_2}{c_1 Q_1}, \quad b_1 = \frac{r_D \beta_2}{c_1 Q_1} \quad (32)$$

$$\frac{d\bar{\theta}}{dx} = a_2(t_1 - \bar{\theta}), \quad \frac{d\bar{p}}{dx} = b_2(p'' - \bar{p}), \quad a_2 = \frac{a_2}{c_2 Q_2}, \quad b_2 = 1.61 \frac{p_B \beta_2}{Q_2}.$$

Для цієї розв'язки потрібно задати величини $a_2, b_2, p'' = p''(t_1)$ і граничні умови. Запроваджується слідуюче припущення: по-перше, температура на поверхні рідини дорівнює $\bar{\theta}$ середньому значенню по товщині шару $t_1 = t$, по-друге, матимемо аналогію процесів тепло- та масообміну, яка виражається наближенням співвідношенням Льюїса. Згідно Бермана це зображається рівністю $Sh = 0.95 Nu$. (33) Для плоских елементів насадки, без обліку хвилеутворення, число Нуселльта визначається за формулою Мікеса $Nu = 0.021 Re_2^{0.8} Pr^{0.43}$ (34)

Скрізь в дальнішому передбачається лінійна апроксимація

$$p'' = m + n t. \quad (35)$$

Для однозначної розв'язності рівнянь (32) необхідно задати умови на вході в апарат:

$$\text{для протитечії: при } x=0 \quad t=t_0, \quad \theta=\theta_0, \quad p=p_0; \quad (36)$$

$$\text{для протитечії: при } x=H \quad \theta=\theta_H, \quad p=p_H. \quad (37)$$

Аналітичні розв'язки задач (32)-(36) і (32)-(35), (37) відомі і містяться у ряді робіт. Результати розрахунку температури рідини на виході з апарата в умовах прямо- і протитечії фаз без врахування хвилеутворення зображені на рис. I (крива I). При наявності хвиль на поверхні плівки рідини течію газу в таких умовах можна розглядати як його рух в каналі з шорсткими стінками, причому висота елементів шорсткості і віддалі між ними визначається відповідно амплітудою (27) та довжиною хвилі (25). Вплив хвилеутворення

Рис. I. Залежність температури рідини t_H від швидкості v_o газу:

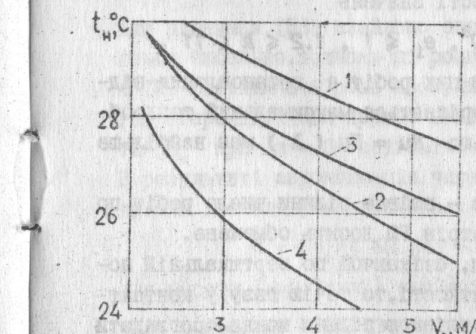
1 - плоский лист, без врахування хвилеутворення (прямотечія);

2 - плоский лист, враховуючи хвилеутворення (протитечія);

3 - плоский лист, враховуючи хвилеутворення (прямотечія);

4 - плоский лист з РМ.

на процеси випаровувального охолодження показано кривою 2 (Рис. I). При розрахунку коефіцієнта тепловіддачі в цьому випадку використовують співвідношення Кадера (38). На рис. I видно, що хвилеутво-



рення значно інтенсифікує процеси охолодження. Отже, при використанні елементом насадки плоского листа необхідно враховувати хвильовий характер плівкової течії.

Глава VI. Гідродинаміка і тепломасообмін при течії плівки рідини по вертикальній поверхні з РМ.

Одним з перспективних методів інтенсифікації процесів ТМО в контактному пристрій плівкової апаратури є утворення штучної шорсткості на робочій поверхні насадочних елементів. Питання про вплив штучної шорсткості на процеси ТМО обговорювалось у ряді робіт вітчизняних та зарубіжних дослідників. Наприклад, при однофазній течії у каналі з стінками, які мають РМ, коефіцієнт тепловіддачі можна визначити за формулами Кадера

$$Nu = \frac{c_2 d_{\text{ш}} \Phi}{\lambda_2} = \frac{Re_2 \sqrt{\epsilon/8}}{3.03 \ln(Re \sqrt{\epsilon/8}) + M + 9.57 \sqrt{\epsilon/8} \epsilon}, \quad (38)$$

де $\epsilon = 8 [2.5 \ln(d_{\text{ш}}/2e) + B_0(\sigma) - 3]^2$,

$$M = 4.9 R_+^{1/4} - 3.03 \ln R_+ + B(\sigma) - 5.86,$$

$$d_{\text{ш}} = \epsilon^2 [(1-2e_1)^2 + 2e_1(k-2)^2 (27-58e_1+2e_1 k)/243k],$$

$$R_+ = e_1 Re_2 \sqrt{\epsilon/8}, \quad e_1 = e/d, \quad k = p/e, \quad \sigma = (k-2)^{2/3} R_+^{1/3} (1-2e_1)^2,$$

$$B_0(\sigma) = 10 \exp(-0.3 \sigma) + 1.5 \sigma^{0.45}, \quad B(\sigma) = 1.79 \sigma^{0.45},$$

які можуть бути застосовані в області значень

$$4 \cdot 10^3 \leq Re_2 \leq 4 \cdot 10^6, \quad 3 \leq k_+ \leq 6 \cdot 10^3, \quad e_1 \leq 1, \quad 1.2 \leq k \leq 11.$$

Найбільш істотним результатом цих робіт є встановлення відповідності $k = p/e$, при якому спостерігається максимальний теплообмін. З співвідношення (38) випливає, що $Nu = Nu(k)$ має найбільше значення коли $k = 10 + 11$.

Але для двофазної системи газ - плівка рідини число робіт по застосуванню та оптимізації параметрів РМ досить обмежене.

Так як поверхня плівки рідини, стикаючоїся по вертикальній поверхні з РМ, повторює рельєф шорсткості, то течію газу у контактному пристрій ТМО при взаємодії з плівкою рідини можна розглядати як його рух в каналі з стінками, які мають РМ з елементами добре обтічної форми і висота виступів такої шорсткості визначається ам-

плітудою стоячої хвилі.

Для визначення шуканої амплітуди розглядається течія плівки рідини по вертикальній поверхні з РМ в умовах контакту з потоком газу. Якщо висота виступів шорсткості мала ($e < \delta$ - пісочна шорсткість), то має місце суперпозиція прогресивних та стоячих хвиль. У цьому випадку відбувається інтенсифікація головним чином в рідинній фазі. Найбільше практичне значення, в зв'язку з інтенсифікацією процесів випаровувального охолодження, має велика висота виступів шорсткості ($e > \delta$); при цьому відбувається збільшення коефіцієнтів переносу в газовій фазі, але при цьому може виникнути небезпека інтенсивного каплевинносу, і тому необхідно враховувати зв'язок між висотою виступів e та найбільшою швидкістю газу v_{rp} (14).

Так як форма елементів шорсткості слабо впливає на інтегральні характеристики двофазної системи, то для простоти дослідження розглядається плівка рідини, яка стикає по вертикальній поверхні з елементами шорсткості циліндричної форми. Область формування потоку, яка віповідає одному періоду шорсткості, розбивається на три області I - 3 (рис. 3). На плоских елементах I і 3 вільна поверхня $h(x)$ визначається з рівняння

$$h^3 h''' + We h'(48+2\tau_1 h^2 - \tau_1^2 h^4)/40 + We h^3 / Fr - 1.5 We(2+\tau_1 h_1^2)/Re_1 = 0, \quad (39)$$

а у циліндричної області 2 для $h(\varphi)$ має місце рівняння

$$h^3 h''' / We + h'(48+2\tau_1 h^2 - \tau_1^2 h^4)/40 + h^3 \sin \varphi / Fr - 3(2+\tau_1 h^2)/2e Re_1 = 0. \quad (40)$$

Для рівняння (52) знайдено аналітичний розв'язок, а (53) розв'язується чисельно, причому ці розв'язки спрягаються на бісектрисах AB і CD. Періодичний розв'язок, який відповідає РМ, буде відповісти з допомогою ітерації, і цей процес завершується, коли значення функцій h та h_x' при $x = 0$ збігаються з їх значеннями при $x = p$. В результаті апроксимація чисельних даних методом найменших квадратів дає слідувачі значення: для середньої товщини плівки

$$\delta = Re_1 / (63.643 + 2.928 Re_1) \quad (41)$$

для висоти (амплітуди) стоячої хвилі

$$e_{\text{cm}} = Re_1 / (1 + 0.773 Re_1) + 2.576 \cdot 10^{-4} Re_1^{-2.69} Re_2^{1.771}, \text{ мм.} \quad (42)$$

Ці співвідношення справедливі при $e = 0.8 \div 1 \text{ мм}$, $k = 8 \div 12$, $v_0 = 0 \div 5 \text{ м/с}$, $40 \leq Re_1 \leq 100$.

XV1215

Процеси ТМО для двофазної плівкової течії при наявності РМ визна-

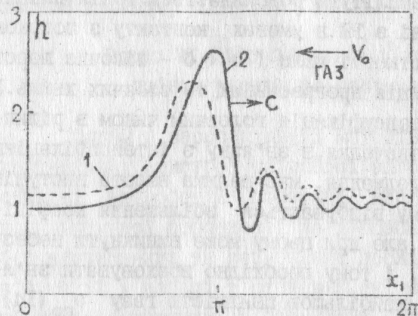


Рис.2. Профіль солітона

1 - $v_o = 1 \text{ м/с}$; 2 - $v_o = 4 \text{ м/с}$.

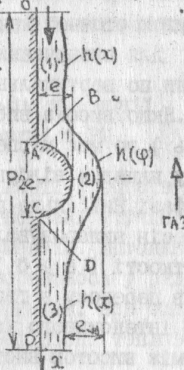


Рис.3. Схема течії плівки рідини по елементу шорсткості циліндричної форми.

чається, як і раніше, системою рівнянь (32), а коефіцієнт теплообміну - з формул Кадера (38). На рис.1 (крива 4) зображене залежність температури рідини на виході з апарату t_h від швидкості v_o газу. Елемент насадки - плоский лист з РМ ($e = 0.8 \text{ мм}$, $p = 10 \text{ мм}$).

Глava VII. Струминна течія рідини у впадині вертикальної гофрованої поверхні та міжфазний теплообмін.

Наяність РМ на плоских елементах насадки при великій висоті виступів, приводить до інтенсифікації процесів переносу, але при цьому в області сильної гідродинамічної взаємодії фаз має місце також і сильний каплевинос. Щоб уникнути цього необхідно створити поперечні капілярні сили, які утримували б рідину у контактному пристрої, без зниження при цьому ефективності РМ. Цього можна досягнути, наприклад, шляхом гофрування елементів насадки. Рідина під дією сил поверхневого натягу збирється до впадини такої поверхні і в дальному її рух має плівково-струминний характер. Розглядається струминна течія рідини по западинній частині гофрованої поверхні, рівняння якої можна апроксимувати квадратичною залежністю $y = f(z) = 2az^2$. Зневажаючи циркуляцію рідини у поперечному перерізі струменя, а також ефектом змочування, одержуємо для подовжньої швидкості та найбільшої товщині струменя слідуєчі значення

$$u_1 = -gy^2/2v_1 + y(\rho_1 g l - \tau_2)/\mu_1 + f(0.5\rho_1 g f - \rho_1 g h + \tau_2)/\mu_1, \quad (43)$$

$$h = h_0 + \tau_2/2\rho_1 g, \quad h_0 = (4.64 \sqrt{a} Q_1 v_1/g)^{2/7}, \text{ мм.}$$

де τ_2 - дотичне напруження з боку газу; Q_1 - об'ємна виграта рідини у струмені, що зробило можливим визначити сухий та змочений периметр гофрованої поверхні (рис.4)

$$l_0 = P^2 [\ln(\Delta + \sqrt{1 + \Delta^2}) + \Delta \sqrt{1 + \Delta^2}] / 16E, \quad \Delta = 4\sqrt{2hE}, \quad \Delta_1 = 4E/P, \quad (44)$$

$$l_1 = P\sqrt{4\pi/2E}, \quad l_2 = P^2 [\ln(\Delta_1 + \sqrt{1 + \Delta_1^2}) + \Delta_1 \sqrt{1 + \Delta_1^2}] / 16E - l_0.$$

При тепловому та аеродинамічному розрахунку контактного пристрою, у випадку прямо-або протиточої течії газу, для продовжено-гофрованих елементов насадок необхідно визначити еквівалентний діаметр. Рівняння гофрованої поверхні у цьому випадку апроксимується синусоїдою. В результаті, при ширині b каналу еквівалентний діаметр дорівнює

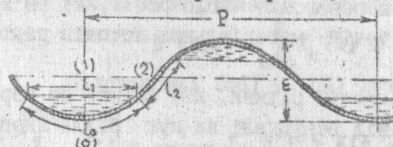
$$d_{eq} = \frac{16b(1+\alpha)}{5\alpha^2+6\alpha+5}, \quad \alpha = \sqrt{1 + (\pi E/P)^2}. \quad (45)$$

При наявності РМ на гофрованій поверхні для визначення найбільшої товщини сруменя застосовується рівняння балансу сил, діючих на елемент струменя. В результаті одержуємо

$$h = h_0 + (3\tau_2/\rho_1 g) \cdot [(\Delta_0^2/(9\Delta_0^2 - 2B\sqrt{1 + \Delta_0^2}))], \quad \Delta_0 = 2\sqrt{2ah_0}, \quad (46)$$

$$\text{де } h_0 = 0.7989 Q_1^{0.3277}, \text{ мм}; \quad \tau_2 = \lambda_2 p_2 v_o^2/2; \quad B = 176.3 \lambda_1 a^5 Q_1^2.$$

При розгляді процесів ТМО у контактному пристрої з гофрованими елементами треба враховувати сухі та змочені ділянки (рис.4).



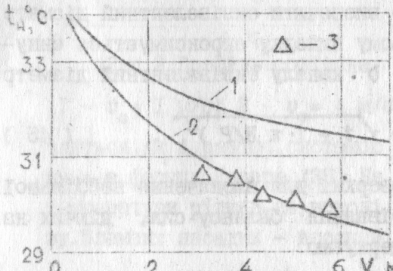
показані на рисунку. l_1 , тут вода і повітря знаходяться в безпосередньому контакті і ця поверхня є областю ТМО; (2) - протяжність цієї області l_2 і ця ділянка гофрованої поверхні є змоченою, тут має місце теплоіндукація від стінки до повітря. Вихідні з рівнянь тепло-балансу, одержано, як і раніше, рівняння (32), коефіцієнти яких

відповідно дорівнюють

$$\begin{aligned} a_1 &= (\alpha_2 l_1 + k_\alpha l_0 + K) / \rho_1 c_1, & b_1 &= \beta_2 r_D l_1 / \rho_1 c_1 \\ a_2 &= 2(\alpha_2 l_1 + k_\alpha l_0 + K) / \rho_2 c_2, & b_2 &= 3.215 p_b l_1 \beta_2 / \rho_2, \\ \text{де } k_\alpha &= 1 / (1/a_0 + \delta_w/a_w + 1/a_1), & m &= (2a_0/\lambda_w \delta_w)^{1/2}, \\ K &= \sqrt{2\alpha_0 \lambda_w \delta_w} \ln(m l_2/2) [1 + k_\alpha(1/a_0 - 1/a_1)]. \end{aligned} \quad (47)$$

На рис.5 зображене результат розрахунку температури рідини на виході з апарату t_h в залежності від швидкості газу v_o . Розрахунок здійснюється за допомогою співвідношень (47), а при наявності РМ, коефіцієнт тепло-віддачі визначається з формул Кадера (38).

Рис.5. Температура рідини на виході з апарату (протичія):
1 - гладка гофрована поверхня;
2 - гофрована поверхня з РМ;
3 - експеримент (Сікорська).



Глава VIII. Тепломасообіг при перехрестному тоці фаз.

Зраз широке розповсюдження одержали плівкові апарати з перехресточиною схемою контактування фаз, такі апарати мають ряд конструктивних та технологічних переваг. Але число робіт, які звязані з дослідженням даної схеми течій матеріальних потоків надто обмежене.

Під дією потоку газу лінії течії рідини, яка стікає по вертикальній поверхні, відхиляються від вертикалі під кутом β , для якого $\tan \beta = 2t_2/p_1 g h$, а товщина шару рідини визначається за формулою

$$h = h_N - \tau_2 H / (2p_1 g l). \quad (48)$$

Якщо провести відповідні усереднення рівнин конвективного ТМО при перехрестному контактуванні фаз, то одержимо слідуючу систему рівнянь

$$\begin{aligned} \frac{\partial t}{\partial x} &= a_1(\theta - t) + b_1(p - p''), \\ \frac{\partial \theta}{\partial z} &= a_2(t - \theta), \quad \frac{\partial p}{\partial z} = b_2(p'' - p). \end{aligned} \quad (49)$$

коєфіцієнти які a_1, b_1, a_2, b_2 такі самі, як і для (32).

Границі умови у цьому випадку такі:

$$\text{при } x = 0 \quad t = t_0; \quad \text{при } z = 0 \quad \theta = \theta_0, \quad p = p_0. \quad (50)$$

Пропонується наступний метод розв'язування даної задачі.

Розв'язок задачі (49)-(50) шукається у вигляді

$$\begin{aligned} t(x, z) &= t_1(z) + e^{-ax} T(x, z), \quad a = a_1 + b_1 n \\ \theta(x, z) &= \theta_1(z) + e^{-az} Q(x, z) \\ p(x, z) &= p_1(z) + e^{-az} P(x, z), \end{aligned} \quad (51)$$

де нові невідомі функції визначаються з розв'язку задач

$$at_1 = a_1 \theta_1 + b_1 p_1 - b_1 m \quad \frac{\partial T}{\partial x} = a_1 Q + b_1 P$$

$$a\theta_1/dz + a_2 \theta_1 = a_2 t_1 \quad \frac{\partial Q}{\partial z} + a_2 Q = a_2 T \quad (52)$$

$$dp_1/dz + b_2 p_1 = b_2 n t_1 + b_2 m, \quad \frac{\partial P}{\partial z} + b_2 P = b_2 n T,$$

$$\text{при } z=0 \quad \theta_1 = \theta_0, \quad p_1 = p_0. \quad \text{при } x=0 \quad T=t_0 - t_1, \quad z=0 \quad Q=P=0.$$

Розв'язок (52) представляється слідуючими співвідношеннями:

$$t_1 = \eta_0 + \zeta_0 e^{-bz}, \quad \theta_1 = \eta_1 + \zeta_1 e^{-bz}, \quad p_1 = \eta_2 + \zeta_2 e^{-bz}, \quad b = (a_1 b_2 + a_2 b_1 n)/a, \quad (53)$$

де η_1, ζ_1 - відомі константи;

$$Q = a_2 \int_0^z T e^{-a_2(z-\zeta)} d\zeta, \quad P = b_2 n \int_0^z T e^{-b_2(z-\zeta)} d\zeta, \quad (54)$$

а функція $T(x, z)$ задоволяє інтегро-диференціальному рівнянню

$$\frac{\partial T}{\partial x} = \int_0^z T(x, \zeta) K(z-\zeta) d\zeta, \quad K(z) = a_1 a_2 e^{-a_2 z} + b_1 b_2 n e^{-b_2 z}, \quad (55)$$

крім того при $x = 0 \quad T = t_0 - t_1(z)$.

Розв'язок рівняння (55) шукається у вигляді

$$T(x, z) = \sum_{k=0}^{\infty} Z_k(z) x^k. \quad (56)$$

Підстановка (56) у (55) дає слідуючі значення для послідовних наближень

$$Z_{n+1}(z) = \frac{1}{n+1} \int_0^z Z_n(\zeta) K(z-\zeta) d\zeta, \quad Z_0(z) = t_0 - t_1(z). \quad (57)$$

Отже, вирази (51), (53), (54), (56), 1 (57) є розв'язком задачі (49)-(50).

При перехрестному контактуванні фаз найбільша інтенсивність процесів ТМО має місце для гофрованих елементів насадки. Розглянута течія струменя рідини по впадині гофрованої поверхні в умовах перехрестного контактування з потоком газу. З врахуванням циркуляції течії в поперечному перерізі струменя отримано розподіл швидкостей.

а також рівняння вільної поверхні рідини. Показано, що в діапазоні зміни параметрів $P = 8 \pm 12$ мм, $E = 2 \pm 4$ мм, $p = 10 \pm 12$ мм, $e = 0.8 \pm 1$ мм, $0 \leq v_0 \leq 10$ м/с з достатньою, з практичної точки зору, точністю можна покласти, що $h = h_0$, де h_0 знаходимо з (46). Тоді сухі і змочені частини гофрованої поверхні визначаються співвідношеннями (44).

Рівняння ТМО, які описують процеси випаровувального охолодження на гофрованих елементах насадки при перехресному контактуванні фаз, як і раніше, мають вигляд (49), а коефіцієнти a_1, b_1, a_2, b_2 системи визначаються виразами (47). Число Нусельта і ефективний діаметр обчислюються за формулами Кадера (38). В результаті розподіл температур рідини і газу t, θ , а також розподіл парціального тиску пари p в шарі насадки визначаються співвідношеннями (51). Результати розрахунку температури t_h рідини на вихіді з апарату у залежності від швидкості v_0 газу зображені на рис. 6. Розрахунок здійснюється, враховуючи друге наближення.

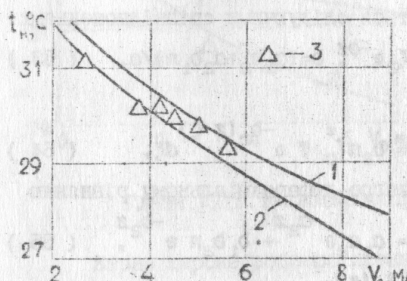


Рис. 6. Температура t_h рідини на вихіді з апарату (перехресний ток):
1 - гладка гофрована поверхня;
2 - гофрована поверхня з РШ;
3 - експеримент (Сікорське).

Глава IV. Теоретичне дослідження тепломасовіддачі в процесах непрямого випаровувального охолодження.

В останній час одержали широке впровадження плівкові повітряохолоджувачі непрямого випаровувального типу. Наприклад, принцип непрямого випаровувального охолодження в кондиціонерах забезпечує значну економію (в 3-4 раза в порівнянні з парокомпресорними охолоджувачами) енергії. Разом з тим дослідження, які присвячені дослідженню процесів ТМО у контактних пристроях таких апаратів відсутні.

В непрямовипаровувальному ТМА використовується багатоканальна насадочна структура, що складається з "сухих" і "вологох" каналів. Охолодження основного повітряного потоку в "сухих" каналах досягається дякуючи випаровувальному охолодженню плівки рідини, яка стикається по зовнішній поверхні цих каналів в умовах контакту з допоміж-

ним потоком. Основний і допоміжний потоки повітря можуть мати по відношенню до стикаючої плівки рідини різні напрямки руху. На практиці найбільше застосування одержали дві схеми течії матеріальних потоків:

1) поперечно-прямоточна (протиточна) схема (по відношенню до стикаючої плівки основний потік рухається перехресним чином, а допоміжний прямотоком чи протитоком);

2) поперечно - поперечноточна схема (обидва повітряні потоки рухаються перехресним чином).

Для поперечно-поперечноточної схеми потоків процеси непрямого випаровувального охолодження в плоскопаралельному насадочному модулі описуються слідуючими рівняннями

$$\frac{\partial t}{\partial x} = a_1(\theta_B - t) + b_1(p - p'') + c_1(\theta - t), \quad a_1 = \frac{a_2}{c_p Q_1} \quad (58)$$

$$\frac{\partial \theta_B}{\partial z} = a_2(t - \theta_B), \quad \frac{\partial p}{\partial z} = b_2(p'' - p), \quad \frac{\partial \theta}{\partial z} = c_2(t - \theta),$$

де $b_1 = r_D \beta_2 / c_p Q_1$, $c_1 = k_a / c_p Q_1$, $a_2 = a_2 / c_r Q_B$, $b_2 = 1.61 P_{cp} \beta_2 / Q_B$, $c_2 = k_a / c_r Q$;

$Q_1 = \rho_1 u_0 h$ - густина зрошення; $2Q_B = \rho_2 v_B (b_B - h)$, $2Q = \rho_2 v_0 b_0$ - витрати повітря, які приходяться на одиницю ширини каналу.

Гранічні умови (на вході) мають вигляд:

при $x = 0, t = t_0$; при $z = 0, \theta_B = \theta_{B0}, p = p_0, \theta = \theta_0$. (59)

Розв'язок задачі (58)-(59) зображається слідуючим чином.

Вводиться нова змінна $\xi = x + z$, яка переводить систему (58) в звичайні диференціальні рівняння. Відповідне характеристичне рівняння є кубічним

$$\lambda^3 + d_2 \lambda^2 + d_1 \lambda + d_0 = 0.$$

Аналіз розв'язку цього рівняння показує, що його корені являються дійсними від'ємними числами x_2, x_3, x_4 . В результаті загальний розв'язок (58)-

$$t(\xi) = g_1 + \sum_{i=2}^4 g_i e^{x_i \xi}, \quad \theta(\xi) = g_1 + c_2 \sum_{i=2}^4 \frac{g_i}{x_i + c_2} e^{x_i \xi} \quad (60)$$

$$\theta_B(\xi) = g_1 + a_2 \sum_{i=2}^4 \frac{g_i}{x_i + a_2} e^{x_i \xi}, \quad p(\xi) = m + n g_1 + b_2 \sum_{i=2}^4 \frac{g_i}{x_i + b_2} e^{x_i \xi}.$$

Постійні g_i ($i = 1, 2, 3, 4$) визначаються з умов:

при $x=0, t(0) = t_0$; при $z=0, \theta_B = \theta_{B0}, \bar{p} = p_0, \bar{\theta} = \theta_0$, які виливяють з (59) шляхом осереднення по довжині l і висоті H насадочного модуля. В результаті одержуємо слідуючу систему рів-

нань відносно θ_1

$$\begin{aligned} \theta_1 + \sum_{i=2}^4 \theta_{l_i} \theta_1 = t_0, \quad \theta_1 + a_2 \sum_{i=2}^4 \frac{\epsilon h_i}{x_i + a_2} \theta_1 = \theta_{BO}, \quad \epsilon l_1 = \frac{x_{11}}{x_1 t} - 1 \\ n \theta_1 + b_2 n \sum_{i=2}^4 \frac{\epsilon h_i}{x_i + b_2} \theta_1 = P_0 - m, \quad \theta_1 + c_2 \sum_{i=2}^4 \frac{\epsilon h_i}{x_i + c_2} \theta_1 = \theta_{BO}, \quad \epsilon h_1 = \frac{x_{1H}}{x_1 H} - 1 \end{aligned} \quad (61)$$

Таким чином, розв'язок задачі (58), (59) визначається співвідношеннями (60), (61).

Якщо насадочними елементами застосовують гофровані поверхні з РШ, то, як і раніше, справедливі рівняння (58), а коефіцієнти цих рівнянь відповідно дорівнюють

$$\begin{aligned} a_1 &= \frac{a_B l_1 + k_A}{\epsilon_p c_p}, \quad b_1 = \frac{\beta_2 r_D l_1}{\epsilon_p c_p}, \quad c_1 = \frac{k_A l_O + k_B}{\epsilon_p c_p} \\ a_2 &= \frac{2(a_B l_1 + k_B)}{\epsilon_B c_r}, \quad b_2 = 3.215 \frac{P_{cp} \beta_2 l_1}{\epsilon_B}, \quad c_2 = \frac{2(k_A l_O + k_B)}{g_O c_r} \\ R_O &= M_w \left[\frac{a_O - a_B}{a_O + a_B} + k_A \left(\frac{1}{a_O} - \frac{1}{a_1} \right) \right], \quad k_B = \frac{2M_w a_B}{a_B}, \quad M_w = \lambda_w \delta_w m \ln l_2. \end{aligned} \quad (62)$$

Отже, і в цьому випадку, при наявності гофрованих насадочних елементів, процеси ТМО можуть бути досліджені з допомогою розглянутого метода.

Глава X. Інженерна методика розрахунку насадочного модуля плівкового апарату прямого й непрямого вишарувального охолодження.

Розрізняють дві основні задачі розрахунку насадочного шару плівкового апарату. Правильна задача - за даними витратами й основними параметрами для води і повітря, а також по відомим основним розмірам насадки та її елементів визначити параметри води та повітря на виході з апарату. Обернена задача - по заданим витратам охолодженого середовища визначити основні розміри насадочного модуля, які б забезпечили на виході з апарату заданий перепад температур.

Розглядаються основні характеристики плівкового апарату. Густота зрошення, як правило, змінюється в границях

$$q_p = G_p / (3600 S) = 3.5 \div 5 \text{ кг}/(\text{м}^2 \text{с}), \quad (63)$$

де G_p - масова витрата рідини, кг/г; S - площа горизонтального перерізу насадки.

Другою важливішою характеристикою плівкового ТМА є відносна витрата повітря $\lambda = G_r / G_p = p_r V_r / q_p$, де швидкість газу V_r повинна бути меншою ніж границя (14). З практичної точки зору $V_r = k v_*$, де $k = 0.5 \div 0.65$. В результаті

$$\lambda = 1 \div 1.2. \quad (64)$$

Для елементів насадки використовуються гофровані листи з РШ, параметри яких ($k=p/e$, $K=P/E$)

$$e = 1 \text{ мм}, \quad k = 8 \div 12, \quad E = 3.5 \text{ мм}, \quad K = 2.6. \quad (65)$$

Згідно експериментальних даних ці значення забезпечують максимальну інтенсивність процесів переносу.

Для оцінки якості роботи охолоджувача використовується величина коефіцієнта ефективності η_0 , що являє собою відношення дійсного підохолодження середовища в охолоджувачі Δt до граничного підохолодження в даних умовах Δt_{ad}

$$\eta_0 = (\Delta t_0 - \Delta t_n) / (\Delta t_0 - \Delta t). \quad (66)$$

В зв'язку з оцінкою ефективності охолоджуючого пристроя розглянемо границі охолодження рідини й газу. Процес вишарування рідини, при якому все тепло передане рідині з боку повітря, витрачається на вишарування останньої і знову повертається в повітря з парою і називається адіабатичним вишаруванням.

Реально умови адіабатичного вишарування в зрошувачі плівкового апарату можна одержати шляхом рециркуляції рідини. Рідина з температурою на виході t_{vix} подається в верхню частину апарату на вхід; через деякий час температура рідини встановиться, так що температура $\bar{\theta}$ на вході t_{vx} буде дорівнювати температурі виходу, отже $t_{vx} = t_{vix} = \tau$. Температура τ є та границя, нижче якої охолодження води в цих умовах неможливе.

Розглянемо наближений метод визначення границі охолодження τ при різних схемах руху матеріальних потоків.

При прямоточному контактуванні рідини й газу, враховуючи, що температура рідини в насадочному шарі постійна $t = \tau$, з (32) виливає

$$a_1 (\bar{\theta} - \tau) + b_1 (\bar{p} - m - n\tau) = 0 \quad (67)$$

$d\theta/dx = a_2 (\tau - \theta)$, $dp/dx = b_2 (m + n\tau - p)$, де $\bar{\theta}$, \bar{p} середні значення температури повітря θ і парціального тиску p по висоті апарату. Враховуючи умови при $x = 0$ $\theta = \theta_0$ і $p = p_0$ з (67) знаходимо шукану границю охолодження

$$\tau = \frac{a_1 \theta_0 \Delta h + b_1 (p_0 - m) \Delta h}{a_1 \Delta h + b_1 n \Delta h}. \quad (68)$$

де $\Delta h = (1 - \exp(-a_2 H)) / a_2 H$, $b_1 = (1 - \exp(-b_2 H)) / b_2 H$, H - висота насадки. Аналогічно визначається границя охолодження і при інших схемах руху потоків. Для протитоку має місце (68), де θ_0 і

p_o - параметри зовнішнього повітря.

При перехрестному контактуванні (l - довжина насадки)

$$\tau = \frac{a_1 \theta_o al + b_1 (p_o - m) bl}{a_1 al + b_1 n bl}, \quad (69)$$

тут $cl = (1 - \exp(-a_2 l))/a_2 l$, $bl = (1 - \exp(-b_2 l))/b_2 l$.

При непрямому випаровувальному охолодженні для поперечно-поперечноточкої схеми течії потоків

$$\tau = \frac{a_1 \theta_{bo} al + b_1 (p_o - m) bl + c_1 \theta_o cl}{a_1 al + b_1 n bl + c_1 cl}, \quad cl = \frac{1 - e^{-c_2 l}}{c_2 l}, \quad (70)$$

з границя охолодження основного потоку повітря при цьому дорівнює

$$\theta_1 = \tau + (\theta_o - \tau) \exp(-c_2 l). \quad (71)$$

Прямий розрахунок плівкових апаратів для різних схем і способів контактування розглянуто раніше при дослідженні ТМО в контактному пристрій.

Розглядається методика розрахунку основних розмірів насадки на прикладі протиточкої вентиляторної градирні.

Дано: G_p^V м/г - об'ємна витрата рідини; початкова (на вході) температура води t_o , °C; параметри зовнішнього повітря: температура θ_H , °C; відносна вологість ϕ_H , % (парціальний тиск пари P_H , Па). Визначити: основні розміри насадки (l , H - довжина і висота; b - віддаль між листами; n - кількість листів), які забезпечують задану температуру води, що виходить з градирні; вибрати тип вентилятора і знайти ефективність η_o спроектованого апарату. Розрахунок. Задамо фронтальну густину зрошення q_p з інтервалу (63), тоді площа горизонтального перерізу S насадки дорівнює

$$S = p_1 G_p^V / (3600 q_p) \text{ м}^2. \quad (72)$$

Нехай відносна витрата повітря знаходиться в діапазоні (64), тоді масова витрата повітря $G_p = \lambda p_1 G_p^V$. (73) а швидкість газового потоку $v_o = G_p / (3600 p_2 S)$. (74)

Разом з тим ця швидкість v_o повинна бути менша граничної v_{gr} , яка визначається співвідношенням (14).

Як елементи насадки використовуються плоский чи гофрований з РМ, геометричні характеристики якого з діапазону (65). Задамо далі деякі початкові значення $b = b_0$ (відстань між листами) і потім, застосувши формули Кадера, знаходимо ефективний діаметр d , коефіцієнт опору ξ , а також числа Рейнольдса Re_2 і Нусельта Nu для повітряного потоку. По одержаним даним можна визначити коефіцієнти a_1 , b_1 , a_2 , b_2 рівнянь ТМО (32), для плоского листа

($a_2 < 0$, $b_2 < 0$) і для гофрованого листа (47).

Висота насадки H визначається з рівняння

$$t_H = t_* + c_1 \exp(\lambda_1 H) + c_2 \exp(\lambda_2 H)$$

Нарешті, обчислимо гідрравлічні втрати в насадочному шарі $\Delta p_H = \xi H \rho_2 v_o^2 / (2 d)$, які складають 75 - 80 % загальних втрат

$$\Delta p_{an} = 1.25 \Delta p_H$$

По даним значенням G_p^V і Δp_{an} вибирається тип вентилятора. Далі підбирається нове значення величини b і процедура обчислень знову повторюється до тих пір поки Δp_{an} не буде зівпадати з аеродинамічною характеристикою вентилятора $\Delta p_{an} = \Delta p_{vent}$, де

$$\Delta p_{vent} = f(G_p^V).$$

Одержані на останній ітерації значення визначальних параметрів b_* , H_* , ξ_* , d_{eff*} та ін. і дають шукані характеристики апарату при його компонуванні з даним вентилятором.

Завершуючи проектування протиточної вентиляторної градирні, знаходимо її ефективність η_o (66), при цьому границя охолодження води обчислюється за формулou (68).

Аналогічним способом проводиться обернений тепловий розрахунок і при інших схемах руху потоків.

Глава XI. Інженерна практика

(практичне застосування результатів роботи).

Теоретичні результати, одержані в роботі, лягли в основу створення тепломасообмінного обладання для рішення ряду задач зв'язаних з охолодженням рідин та газів. Розроблені комп'ютерні програми розрахунків контактних пристрій з різними насадочними елементами дозволили створити оптимальні інженерні системи з підбором вентилятора з числа альтернативних. В результаті розроблено типорозмірний ряд проти- та перехрестоточкої вентиляторних градирень, були створені непрямо-випаровувальні повітроохолоджувачі для розв'язування задач технологічного значення (охолодження РЕА) й комфорного кондиціонування повітря, а також розроблено повітряно-випаровувальний конденсатор для холодильних установок.

ОСНОВНІ ВИСНОВКИ

I. Створено новий науковий напрямок в області холодильного машинобудування, що полягає в розробці методів розрахунку гідродинаміки та тепломасообміну в контактному пристрій ТМА в двофазній системі рідина - газ для плівкових і плівково-струминих течій на основі сучасних досягнень механіки рідини та газу, теорії тепло-

масообміну, обчислювальної математики.

2. В результаті природної нестійкості течії плівки рідини на її поверхні виникають хвилі збурення, амплітуда яких зростає під виливом потоку газу; ці звичні хвиляутворення є джерелом заносу крапельної вологи з апарату (нестійкість Кельвіна-Гельмгольца). Визначення граничного навантаження газової фази доцільно проводити згідно гідродинамічної стійкості потенціальних течій.

3. Для контактних пристрій ТМА великої пропускної спроможності з плоскими і гофрованими, гладкими і шорсткими елементами коефіцієнти опору і теплообміну визначаються співвідношеннями Кадера (38) при різних схемах контактування матеріальних потоків.

4. Якщо елементами насадки є плоскі листи, то слід врахувати хвилювий характер плівкової течії, яке інтенсифікує процеси випаровувального охолодження в такій же мірі як і лист з РШ. Параметри шорсткості (висота e і період r) визначаються при цьому амплітудою a (27) і довжиною λ (25) хвилі.

5. При використуванні ЕН поверхонь (плоских і гофрованих) з РШ підохолодження води після градирні нижче при протитоці, в порівнянні з прямоточевою схемою течії фаз. Отже, протиток є більш крамдим при організації руху потоків.

6. Для ЕН з РШ на поверхні плівки рідини утворюється регулярна система стоячих хвиль з довжиною, яка дорівнює віддалі між виступами, і амплітудою, що визначається співвідношенням (42). Амплітуда стоячої хвилі збільшується з ростом швидкості газу і при швидкостях порівнянних з граничною v_{cr} ця амплітуда значно відрізняється від висоти виступів шорсткості (до 30%). Ефективність РШ для двофазної системи газ - плівка рідини можна визначати на основі формул Кадера (33) з використанням виразу (42).

7. При зрошенні гофрованих поверхонь під дією капілярних сил рідини збирається у впадинках і подальший її рух має плівково-струминний характер. Дослідження процесів випаровувального охолодження рідини в таких умовах слід проводити з врахуванням "сухих" і "зрошення" ділянок такої поверхні, розміри яких визначаються з (44).

8. Розроблені в роботі аналітичні методи розв'язування задач ТМО для плівкових і плівково-струминних течій в умовах прямого і непрямо-випаровувального охолодження фаз дозволяють проводити розрахунок основних характеристик потоків на вихіді з апарату з достатньою для інженерної практики точністю.

9. Запропонований наближений метод розрахунку границі охолодження води в умовах адіабетичного випаровування з достатньою точністю

дозволяє визначити температуру повітря на вихіді з апарату при прямому і непрямо-випаровувальному охолодженні.

10. Однозначна розв'язуваність задачі проектування насадок на основі математичного моделювання гідродинаміки та процесів випаровувального охолодження забезпечується завданням:

- 1) фронтальної густини зрошення q_p і відносною витратою повітря λ - для прямоточної (прямотичної) градирні;
- 2) q_p , λ і швидкості течії повітря v_o - для перехресноточної градирні;
- 3) q_p , λ , швидкості основної течії v_o і допоміжної течії v_a повітря - для повіtroохолоджувачів непрямо-випаровувального типу.

П. Розроблене математичне моделювання гідродинаміки і процесів ТМО з основою для прямого та оберненого розрахунку контактних пристрій ТМА, а також для оптимального проектування плівкових водо- і повіtroохолоджувачів.

Основний зміст роботи відтворено у публікаціях.

1. Чумак И.Г., Кириллов В.Х., Роговая С.Н. К вопросу о волновом течении тонкого слоя вязкой жидкости по вертикальной поверхности // Холодил. техн. и технол.: Респ. межвед. науч.-техн. сб. - 1973. - Вып.16. - С.90-92..
2. Чумак И.Г., Кириллов В.Х., Роговая С.Н. Волновое течение пленки вязкой жидкости с учетом нелинейных касательных напряжений // Холодил. техн. и технол.: Респ. межвед. науч.-техн. сб. - 1974. - Вып.19. - С.23-26.
3. Чумак И.Г., Кириллов В.Х., Дымов М.И. Волновое течение тонкого слоя вязкой жидкости по вертикальной поверхности//Холодил.техн. и технол.: Респ. межвед. науч.- техн. сб.- 1974.- Вып.19.- С. 26-31.
4. Чумак И.Г., Кириллов В.Х., Дымов М.И. К вопросу об определении амплитуды волнового вертикального течения пленки // Холодил. техн. и технол.: Респ. межвед. науч.-техн. сб.- 1975.- Вып.20. - С.104-107.
5. Дымов М.И., Кириллов В.Х., Чертков И.Л. Теплообмен в тонком слое жидкости при регулярно-волновом режиме течения // Холодил.техн. и технол.: Респ. межвед. науч.-техн. сб.-1975.- Вып.21.- С.50-54.
6. Кириллов В.Х., Дымов М.И. Определение длины участка интенсивного теплообмена между тонким слоем вязкой жидкости и газовым потоком // Холодил. техн. и технол.: Респ. межвед. науч.-техн. сб.-1977.- Вып.24.- С.37-41.
7. Дымов М.И., Кириллов В.Х. Устойчивость течения тонкого жидкого слоя в теплообменниках пленочного типа//Холодил.техн. и технол.: Респ. межвед. науч.-техн. сб.- 1977.- Вып.25.- С.59-63.
8. Кириллов В.Х., Дымов М.И., Рожкова Л.Ф. Течение тонкого слоя вязкой жидкости по вертикальной гофрированной поверхности// Холодил. техн. и технол.: Респ. межвед. науч.- техн. сб. - 1978.- Вып.27.- С.44-47.
9. Кириллов В.Х., Чертков И.Л. Теплообмен в пленке жидкости, текущей по стенке с регулярной шероховатостью // Холодил. техн. и технол.: Респ. межвед. науч.-техн.сб.- 1979.- Вып.29.- С.39-45.

10. Кириллов В.Х., Логачевский В.И. Волновое течение тонкого слоя вязкой жидкости по наклонной плоскости // Холодиль. техн. и технол.: Респ. межвед. науч.-техн. сб.- 1982.- Вып.35.- С.117-122.
11. Кириллов В.Х., Логачевский В.И. Определение устойчивого волнового режима пленочного течения в случае малых расходов жидкости // Материалы конференции "Вычислительная математика в научно-техническом прогрессе".- Киев, 1982.- С.157.
12. Кириллов В.Х., Логачевский В.И. Течение тонкого слоя вязкой жидкости по вертикальной гофрированной поверхности в условиях контакта с газовым потоком // Холодиль. техн. и технол.: Респ. межвед. науч.-техн. сб.- 1985. Вып.40.- С.28-32.
13. Кириллов В.Х., Логачевский В.И. Течение тонкого слоя вязкой жидкости по вертикальной гофрированной поверхности в условиях взаимодействия с газовым потоком // Холодиль. техн. и технол.: Респ. межвед. науч.-техн. сб.- 1985.- Вып.41.- С.76-80.
14. Кириллов В.Х., Логачевский В.И., Дорошенко А.В. К расчету пленочных тепломассообменных аппаратов для холодильной техники // Холодильная техника.- 1985.- №8.- С.32-34.
15. Кириллов В.Х., Логачевский В.И., Дорошенко А.В. Устойчивость течения тонкого слоя вязкой жидкости на вертикальной поверхности в контакте с газовым потоком//Тез.докл.конференции"Метод Фундаментальный А.М.Ляпунова в современной математике".-Харьков, 1986.- С.126.
16. Кириллов В.Х., Логачевский В.И., Гайдай В.Г. Вопросы гидродинамики и проектирования пленочных тепломассообменных аппаратов для холодильной техники // Тез.докл.конференции "Интенсификация производства и применения искусственного холода".- Ленинград, 1986.-С.14-15.
17. Кириллов В.Х., Логачевский В.И. Теплообмен в пленке жидкости, текущей по стенке с регулярной шероховатостью в контакте с газовым потоком // Холодиль. техн. и технол.: Респ. межвед. науч.-техн. сб.- 1987.- Вып.44.- С.73-77.
18. Кириллов В.Х., Логачевский В.И., Тихоненко Л.Я.К теории течения тонкого слоя вязкой жидкости по вертикальной поверхности с когнечной высотой выступов регулярной шероховатости // Тез. докл. конференции "Дифференциальные и интегральные уравнения и их приложения".- Одесса, 1987.- С.115-116.
19. Малюсов В.А., Колпаков Л.П., Дорошенко А.В., Кириллов В.Х. - Наседка. - А.С.1310011 (СССР).- БИ №8, 1987.
20. Кириллов В.Х., Логачевский В.И., Дорошенко А.В. Определение параметров струи жидкости в поперечноточных тепломассообменных аппаратах с продольно-гофрированными поверхностями//Холодиль.технол.: Респ.межвед.науч.-техн. сб.- 1987.- Вып.45.- С.60-63.
21. Кириллов В.Х., Дорошенко А.В., Логачевский В.И. Особенности пленочного течения жидкости по поверхностям с регулярной шероховатостью // Иж.-физ. журн.- 1988.- Т.54. №5.- С.739-745.
22. Кириллов В.Х., Дорошенко А.В., Логачевский В.И. Компактная тепломассообменная аппаратура для пленочного контактирования газа и жидкости// тез. докл. конференции "Современные машины и аппараты химических производств".- Чимкент, 1988.- С.178-180.
23. Кириллов В.Х., Логачевский В.И., Дорошенко А.В. Определение поверхностей тепло- и массообмена в пленочных аппаратах с гофрированной насадкой // Холодиль. техн. и технол.: Респ. межвед. науч.-техн.сб.- 1988.- Вып.47.- С.19-23.
24. Кириллов В.Х., Логачевский В.И.. Титаренко Т.В. Расчет гидродинамики тепломассообменных аппаратов систем непрямого испарительного охлаждения радиоэлектронной аппаратуры//Холодиль. технол.: Респ.межвед.науч.-техн. сб.- 1989.- Вып.48.- С.19-24.
25. Кириллов В.Х., Грандов А.А., Дорошенко А.В. К расчету скорости вторичного уноса в сепараторах железноземного типа // Иж.-физ. журн.- 1989.- Т.56, №5.- С.842-843.

26. Кириллов В.Х., Титаренко Т.В., Яцкарь И.Я., Дорошенко А.В. Численное моделирование течения пленки жидкости //Тез. докл.конференции "Создание и внедрение современных аппаратов с активными гидродинамическими режимами для текстильной промышленности и производства химических волокон.- М., 1989.- С.20.
27. Кириллов В.Х., Туманский В.Н. Устойчивость плоскопараллельного течения тонкого слоя вязкой жидкости по вертикальной поверхности в контакте с газовым потоком.- Киев, 1989.- 16 с.- Деп. в 28. Кириллов В.Х., Дорошенко А.В., Логачевский В.И. Гидродинамика и тепломассообмен в пленочных аппаратах холодильных систем//Тез. докл.конференции"Пути интенсификации производства с применением искусственного холода".- Одесса, 1989.- С.68.
29. Кириллов В.Х., Титаренко Т.В., Яцкарь И.Я. Численное моделирование течения пленки жидкости на насадочных элементах ТМА // Тез.докл.конференции "Пути интенсификации производства с применением искусственного холода".- Одесса, 1989.- С.73.
30. Кириллов В.Х., Титаренко Т.В., Яцкарь И.Я. Аналитический расчет теплообмена при пленочном испарительном охлаждении в режиме противотока// Тез. докл. конференции "Двухфазный поток в энергетических машинах и аппаратах".- Ленинград, 1990.- С.149-150.
31. Кириллов В.Х., Титаренко Т.В., Дорошенко А.В. Особенности проявления регулярной шероховатости в пленочных противоточных тепло- и массообменных аппаратах// Холодиль. техн. и технол.: Респ. межвед. науч.-техн. сб.- 1990.- Вып.50.- С.49-52.
32. Кириллов В.Х., Витюк В.Ф., Иванченко Ф.Н. Об одной сопряженной задаче теории тепломассообмена // Тез. докл. симпозиума "Метод дискретных особенностей в задачах математической физики".-Одесса, 1991.-С.54-55.
33. Кириллов В.Х., Титаренко Т.В., Яцкарь И.Я. Моделирование пленочного течения по гладким и шероховатым поверхностям//Холодиль. техн. и технол.: Респ.межвед.науч.-техн. сб.-1990.-Вып.51.-С.70-78.
34. Кириллов В.Х., Логачевский В.И. Неустойчивость плоскопараллельного течения пленки жидкости, текущей по вертикальной поверхности в контакте с турбулентным газовым потоком//Гидромеханика:Респ.межвед.сб.науч.трудов.-Киев.-1992.- Вып.66.- С.73-78.
35. Кириллов В.Х., Витюк В.Ф., Витюк А.В. Устойчивость ламинарного течения тонкого слоя вязкой жидкости по вертикальной поверхности в контакте с турбулентным газовым потоком.-Киев,1992.-27с.- Деп. в УкрИНТЭ 26.08.92. № 1332- Ук 92.
36. Кириллов В.Х., Витюк А.В. Косвенное испарительное охлаждение при прямоточном и противоточном течении фаз. - Киев, 1992.-9 с.- Деп. в УкрИНТЭ 17.12.92. № 1997- Ук 92.
37. Кириллов В.Х., Витюк В.Ф., Витюк А.В. Тепломассообмен при пленочном течении жидкости в контакте со спутным газовым потоком. - Киев, 1992. - 9 с.- Деп. в УкрИНТЭ 31.08.92, № 1337- Ук 92.
38. Кириллов В.Х., Витюк В.Ф., Витюк А.В. Сопряженный теплообмен в условиях прямотока двух фаз//тез.докл. Республиканской научно-методической конференции, посвященной 200-летию со дня рождения Н.И. Лобачевского.- Одесса, 1992.- С.47.
39. Кириллов В.Х., Витюк А.В. Испарительное охлаждение пленки жидкости при перекрестном токе фаз и тепломассообмен при косвенном испарительном охлаждении сред.- Киев, 1993. - 7 с.- Деп. в УкрИНТЭ 25.03.93, № 661-Ук93.
40. Кириллов В.Х., Витюк А.В. Тепломассообмен испарительного охлаждения жидкости в плоскопараллельной насадке. - Киев, 1993.-9 с.- Деп. в ГНТБ Украины 26.07.93, № 1607-Ук93.
41. Кириллов В.Х., Витюк А.В. Математическое моделирование процессов тепломассообмена в пленочных аппаратах косвенного испарительного охлаждения.- Киев, 1993. - 13 с.- Деп. в ГНТБ Украины 18.08.93, № 1769-Ук93.

42. Кириллов В.Х., Битюк А.В. Моделирование процессов тепломассообмена в плоскоизогнутой насадке вентиляторной градирни.-Киев, 1993. - 13 с.- Деп. в ГНТБ Украины II.08.93, №1700-Ук93.

Умовні позначення

\bar{a} - середнє значення змінної a ; x - вісь координат, направлена вертикально вниз, м; y - горизонтальна вісь координат, м; z - вісь координат, м; H , l - висота і довжина насадки, м; $b = 2r$ - відстань між листами, мм; d - діаметр, мм; δ , h_0 - середня товщина плівки, мм; p , e - період та висота виступів РІІ, мм; P , E - період та висота гофрування, мм; u, v, w - складові швидкості, м/с; u_0 , v_0 - середні по витраті швидкості рідини та газу, м/с; c - фазова швидкість, м/с; t , θ - температура рідини та газу, $^{\circ}\text{C}$; p - парціальний тиск пари, Дж/кг; c_p - кількісна концентрація теплоємності, Дж/(кг град); λ - довжина хвилі, м; τ - час, с; σ - дотичне напруження, Н/м; σ_c - границя охолодження, $^{\circ}\text{C}$; ρ - густота, кг/м³; μ - динамічна в'язкість, в с/м²; ν - кінематична в'язкість, м²/с; σ - поверхневий натяг, Н/м; a - амплітуда хвилі, мм; коефіцієнт тепловіддачі, вт/(м² град); β_p - коефіцієнт масовіддачі, с/м; Re , Nu , Sh , We , Fr - числа Рейнольдса, Нусельта, Шервуда, Вебера, Фруда.

Індекси та скорочення

$1, p$ - рідина; $2, g$ - газ; w - допоміжний потік; o - основний потік; n - пара; w - стінка; t - турбулентний еквівалентний; еф - ефективний; i - на поверхні розділу рідини - газ; $*$ - критичне, граничне значення; ТМО - тепломасообмін; ТМА - тепломасообмінний апарат; РІІ - регулярна порсткість; ЕН - елемент насадки; РЕА - радіоелектронна епаратура; КП - кондиціонер повітря.

Миронов

Підписано до друку 16.03.1994 р.

Обсяг 2 друк. арк.

Формат 60x84.

Зам. № 47. Тираж 100.

Друкарня Української державної академії зв'язку ім. О.С. Попова.
Одеса, Старопортовійська, 61.